

УДК 539.172.3

В.А. ТРЯСУЧЁВ

ЭТА-ЯДЕРНАЯ ФИЗИКА

Анализируются результаты теоретических и экспериментальных исследований η -мезона, выполненные в Томском политехническом университете за последние 35 лет. Рассматривается возможность η -мезонов образовывать связанные состояния с атомными ядрами, называемыми η -ядрами. Основные свойства таких экзотических ядер изучены в рамках оптической модели мезон-ядерного взаимодействия. На основе предложенной в работе модели образования η -ядер фотонами высоких энергий рассчитаны сечения фотогорождения ряда η -ядер и рассмотрены возможности их обнаружения.

Введение

Эта-мезон (η -мезон) был открыт в 1961 году и долго оставался объектом тщательного экспериментального и теоретического изучения ввиду непохожести на известные к тому времени мезоны. По современным представлениям в его состав помимо обычных u -, d -кварков входит и странный кварк S . Скрытая странность предполагает отличие η -мезона от π^0 -мезона и ηN -взаимодействия от πN . Сравнение этих взаимодействий между собой в 70-х годах было важно для проверки основных положений сильных взаимодействий, как то, изотопической инвариантности. Измерения сечений ηN -взаимодействия с помощью пучков η -мезонов невозможны из-за невероятно короткого времени жизни этого мезона

$$\tau \approx 5 \cdot 10^{-19} \text{ с},$$

которого недостаточно даже для того, чтобы мезон мог пролетать расстояние, равное диаметру одного атома. И тем не менее изучать взаимодействие η -мезонов с нуклонами и ядрами можно, но только опосредованно: как взаимодействие в конечном состоянии в процессах, где η -мезоны образуются частицами высоких энергий. За достоверность сведений о ηN -взаимодействии в этом случае отвечают уже не только экспериментаторы, но и теоретики, поскольку эти сведения модельно-зависимые. Поэтому для исследования ηN -взаимодействия требовался неформальный союз теоретиков и экспериментаторов. В начале 70-х годов такой союз создался в НИИЯФ при ТПУ.

Определение сечения ηN -взаимодействия

Еще до пуска томского синхротрона «Сириус» с максимальной энергией ускоренных электронов 1,5 ГэВ в НИИЯФ при ТПУ стали готовиться к физическим экспериментам на пучке γ -квантов. Среди рассматриваемых был проект эксперимента по измерению A -зависимости сечений фотогорождения тогда еще новых частиц, η -мезонов на сложных ядрах с целью получения сведений о сечении ηN -взаимодействия. Проект был утвержден, а руководителем и главным исполнителем этого эксперимента был назначен выпускник кафедры №12 физико-технического факультета ТПУ Г.Н. Дудкин. Измерения начались на созданной в стенах института уникальной установке для регистрации η -мезона по двум γ -квантам от его распада. Заметим, что это был третий в мире эксперимент с регистрацией η -мезона! Первая оценка полного сечения ηN -взаимодействия, полученная в этом эксперименте для η -мезонов с кинетической энергией $T_\eta \approx 150 \text{ МэВ}$ [1],

$$\sigma(\eta N) = (66^{+29}_{-20}) \text{ мбн.} \quad (1)$$

Параллельно с экспериментом велись и теоретические исследования, направленные на создание «строгой» модели ηN -взаимодействия, удовлетворяющей требованиям релятивистской инвариантности и унитарности. Такая модель, включающая два основных канала реакции



была создана и с её помощью впервые были вычислены сечения взаимодействия с нуклонами для η -мезонов низких энергий [2] (рис.1). В последующие годы (а эксперимент растянулся на годы)

была измерена энергетическая зависимость $\sigma_{\eta N}$, указывающая на резонансный характер низкоэнергетического ηN -взаимодействия. С по-

Рис. 1. Зависимость сечений ηN -взаимодействия от кинетической энергии T_{η} η -мезонов (полной энергии) ηN -системы). Сплошные кривые – теоретический расчет; \circ , \bullet – сечения реакций $\eta N \rightarrow \pi N$, полученные методом детального баланса из обратной реакции; \square – полученное нами экспериментальное значение $\sigma'_{\eta N}$

мощью обсуждаемой модели из эксперимента по измерению A -зависимости сечений фоторождения η -мезонов на сложных ядрах были получены масса и ширина этого резонанса [3],

$$m_R \approx 1550 \text{ МэВ/с}^2, \Gamma_R \approx 160 \text{ МэВ}, \quad (2)$$

известного как резонанс $S_{11}(1535)$. Следует напомнить, что этот резонанс наиболее сильно связан с каналом $\eta + N$, а поэтому его изучение в других каналах, таких, как $\pi + N$, малоэффективно. Сегодня сведения о свойствах этого резонанса [4] мало чем отличаются от определённых 25 лет назад в ТПУ.

Парциальные реакции фоторождения η -мезонов на лёгких ядрах

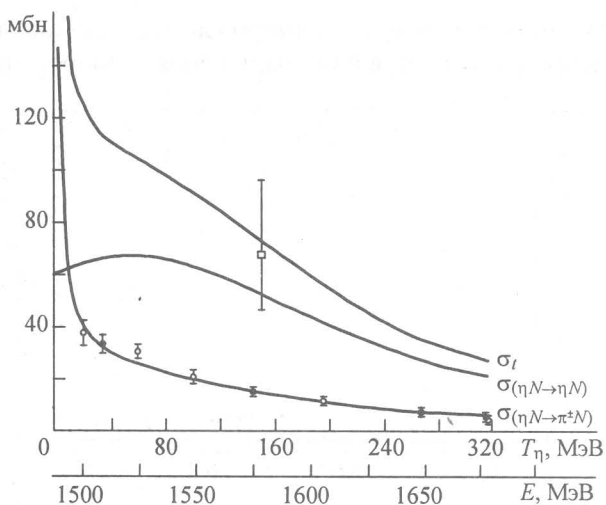
Для проверки кварковых моделей строения адронов в 70-е годы важными были сведения о ширинах фотовозбуждения барионных резонансов, основным источником которых являются реакции фоторождения мезонов на нуклонах и ядрах. Вопрос о фоторождении η -мезонов вблизи порога довольно остро встал уже в 1969 году из-за обнаруженного противоречия в характере фотовозбуждения резонанса $S_{11}(1535)$. Из всей совокупности данных о фоторождении π -мезонов на нуклонах следовало, что ответственными за образование псевдоскалярных мезонов в этой области энергий являются фотоны с изоспином 1 (изовекторные фотоны). В этом контексте результат измерения сечения когерентного фоторождения η на ядрах дейтерия d ,

$$\gamma + d \rightarrow \eta + d, \quad (3)$$

вблизи порога был очень неожиданным [5]; в непосредственной близости от порога сечение имело величину, не равную нулю, и с увеличением энергии резко уменьшалось, обращаясь в нуль. Анализ результата эксперимента в импульсном приближении однозначно привел к заключению об изоскалярном характере фотовозбуждения резонанса $S_{11}(1535)$, то есть его возбуждении фотонами с изоспинами 0, противореча ранее накопленным данным. Именно в это время зародилась идея (по-видимому, не у одного человека) «фильтрации» частей однонуклонных амплитуд фоторождения π^0 - и η -мезонов с помощью когерентных реакций фоторождения мезонов от p -оболочек лёгких ядер:

$$\gamma + A(J, T) \rightarrow \left\{ \begin{array}{l} \pi^0 \\ \eta \end{array} \right\} + A^*(J', T'), \quad (4)$$

в которых начальное ядро A меняет свои квантовые числа (J, T) на (J', T') в результате ядерного парциального перехода в дискретное возбуждённое состояние A^* . Заметим, что сечения реакций (4) пропорциональны таким частям амплитуд процессов $\gamma N \rightarrow \pi N$, $\gamma N \rightarrow \eta N$, которые невозможно выделить, изучая только сами эти процессы [6]. Работа над теорией реакций (4), получивших название парциальных реакций фоторождения мезонов на ядрах, потребовала больших усилий и выполнялась силами двух коллективов: НИИЯФ при ТПУ и фотомезонной лаборатории ФИАН. Трудность заключалась в том, что результаты вычислений наблюдаемых величин реакций (4) сильно зависели от ядерных моделей и приближений, недостаточно разработанных и обоснованных в 70-е годы. Для этих расчётов была задействована ядерная модель оболочек с остаточным взаимодействием. К 1985 году была, в целом, создана последовательная модель парциальных реакций фоторождения мезонов на лёгких ядрах, на основе импульсного приближения, которая позволяла рассчитывать сечения любых



парциальных реакций фоторождения мезонов на p -оболочечных ядрах с учётом внутриядерного движения нуклонов и без нарушения калибровочной инвариантности амплитуды [7].

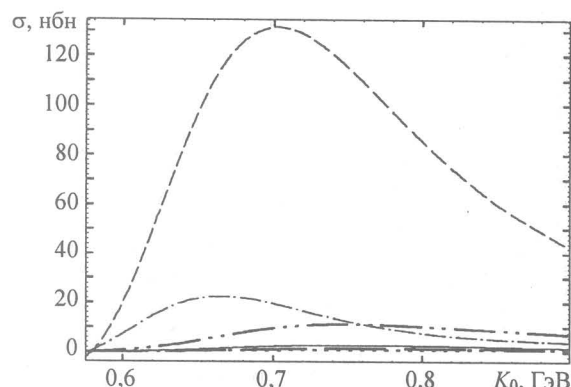
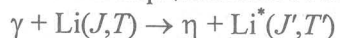


Рис. 2. Полные сечения реакций $(\gamma, \eta)^6\text{Li}^*(\epsilon)$ в зависимости от энергии налетающих γ -квантов с возбуждением уровней в конечном ядре: - - - $\epsilon = 0$ МэВ ($1^+ 0$); — · — $\epsilon = 2,18$ МэВ ($3^+ 0$); — · — $\epsilon = 3,56$ МэВ ($0^+ 1$); — — $\epsilon = 4,27$ МэВ ($2^+ 0$); — - - $\epsilon = 5,37$ МэВ ($2^+ 1$); — — $\epsilon = 5,65$ МэВ ($1^+ 0$)

Как демонстрация сильной зависимости обсуждаемых сечений от квантовых чисел возбуждённых уровней p -оболочечных ядер на рис.2 показаны результаты вычислений парциальных сечений реакций



в плосковолновом приближении. Из этого рисунка видно, что обсуждаемые сечения могут различаться на несколько порядков, так как зависят от разных сильно различающихся частей амплитуды элементарных процессов $\gamma N \rightarrow \eta N$. Кроме того, для практического применения метода идентификации конечного ядра по энергиям низкоэнергетических γ -квантов от девозбуждения ядер A^* просчитаны их угловые распределения с учётом поляризации возбуждённых ядер в соответствующих реакциях фоторождения [8]. Несколько позже для учёта взаимодействия в конечном состоянии к реакциям (4) был применён метод искажённых волн [9]. Малая величина парциальных сечений (см. рис.2) и неполнота

сведений о некоторых γ -уровнях, необходимых в методике совпадений, которую предполагалось применять для выделения парциальных реакций фоторождения, сильно удорожили эксперименты, что не позволило в начале 90-х годов перейти к систематическому исследованию реакций (4). Временные экономические трудности не должны умалить достоинства выполненной работы, результаты которой в скором будущем будут востребованы у нас в стране. Эти результаты уже используются в международном эксперименте [10].

η-ядра

Независимо друг от друга в 1985 году произошли два события, приведшие к всплеску интереса к η -мезон-ядерной физике. Одно из них – это совместный парциально-волновой анализ πN - и ηN -взаимодействий, выполненный в методе связанных каналов, который показал, что низкоэнергетическое ηN -взаимодействие достаточно сильное и является взаимодействием притяжения [11]. Опираясь на этот результат, Liu и Haider высказали идею о возможности существования связанных состояний η -мезон – ядро и провели соответствующие расчёты [12,13], согласно которым квазисвязанные состояния могут существовать с барионным зарядом $A \geq 11$.

Другое событие – это результат эксперимента с лёгкими ионами,



первоначальной целью которого была проверка выполнения закона сохранения изоспина в сильных взаимодействиях [14]. Результаты были интересны по обеим реакциям, но остановимся на обнаруженной особенности реакции (7). При уменьшении энергии налетающих дейtronов ближе к порогу реакции (7) счёт η -мезонов уменьшался непропорционально медленнее, чем уменьшение фазового объёма конечных частиц реакции [14], свидетельствуя об увеличении силы взаимодействия в $\eta - {}^3\text{He}$ -системе при уменьшении энергии. В дальнейшем эти события развивались по следующему сценарию. По предложению Liu и Haider был поставлен эксперимент в Брукхейвенской лаборатории по поиску η -ядер (так стали называть гипотетические связанные состояния η -мезонов и ядер). Обнаружить η -ядра со свойствами, предсказанными их авторами, не удалось [15]. Из этого факта одни специалисты заключали, что η -ядер в природе нет, а другие, – что предсказанные свойства (энергии связи и ширины) были далеки от реальных. Следует заметить, что с тех пор и эксперимент, и первоначально предсказанные свойства η -ядер неоднократно критиковались и не без основания. Что касается результата эксперимента по измерению сечения реакции (7), то существующие традиционные модели не объясняли порогового поведения сечения этой реакции, в то

время как нетрадиционная модель «объяснила» s -волновым ядерным «резонансом» в $p - d$ -системе, но массой меньше массы конечных частиц [16–17]. В теории рассеяния такой «резонанс» называется полюсом и соответствует виртуальным частицам или квазисвязанным состояниям. Если этот полюс к тому же близок к порогу, то его можно обнаружить по увеличению силы взаимодействия в системе $\eta - {}^3\text{He}$, по мере приближения по энергии к полюсу, то есть по увеличению амплитуды реакции (7) с уменьшением энергии до пороговой. Наблюдаемый «след» от образования очень лёгких η -ядер в реакции (7) и, возможно, в реакции (3), а также неудача обнаружения η -ядер в Брукхейвене заставили радикально пересмотреть возможные свойства η -ядер, тем более, что этому способствовали новые результаты о длине свободного ηN -рассеяния, a_0 [18, 19].

Для образования квазисвязанных состояний в комплексном потенциале требуется определённое соотношение между его реальной и мнимой частями. Так как комплексный η -ядерный потенциал определяется через комплексную длину рассеяния a_0 , то на рис. 3 для нескольких ядер показаны границы образования связанных состояний в комплексной плоскости a_0 [20]. Слева от этих кривых находятся значения a_0 , которые не ведут к связанным состояниям соответствующих атомных ядер и η -мезонов; справа от кривых остаются те значения, которые ведут к связанным состояниям. Как видно из рис. 3, последние результаты исследования a_0 [18, 19] свидетельствуют о возможности образования η -ядер с тремя нуклонами, след от образования которых, по-видимому, просматривается в реакции (7). В таблице показаны свойства некоторых η -ядер, рассчитанные с новыми данными о длине ηN -рассеяния, полученными в [18, 19].

Собственные значения комплексной энергии $E = (\varepsilon + i\Gamma/2)$ МэВ в модели с прямоугольной потенциальной ямой

Ядра	Состояния	$a_0 = (0,751 + 0,274i)$ Фм	$a_0 = (0,717 + 0,263i)$ Фм
${}^3\eta\text{He}$	1s	$2,94 + 6,05i$	$2,30 + 5,50i$
${}^4\eta\text{He}$	1s	$19,7 + 17,9i$	$17,5 + 16,85i$
${}^{11}\eta\text{B}$	1s	$29,6 + 17,58i$	$27,5 + 16,75i$
	1p	$11,2 + 9,45i$	$10,3 + 7,88i$
${}^{12}\eta\text{C}$	1s	$30,1 + 17,45i$	$28,0 + 16,65i$
	1p	$11,9 + 10,57i$	$10,6 + 9,13i$
${}^{15}\eta\text{N}$	1s	$32,3 + 17,65i$	$30,2 + 16,85i$
	1p	$14,8 + 13,02i$	$13,1 + 11,86i$
${}^{16}\eta\text{O}$	1s	$32,8 + 17,62i$	$30,6 + 16,82i$
	1p	$15,6 + 13,46i$	$13,9 + 12,36i$
${}^{40}\eta\text{Ca}$	1s	$42,3 + 19,26i$	$39,9 + 18,45i$
	1p	$30,1 + 18,08i$	$27,9 + 17,20i$
	2s	$7,24 + 15,64i$	$5,3 + 14,65i$

Для радиуса потенциала R , были использованы данные о среднеквадратических радиусах соответствующих атомных ядер. Чтобы показать модельную зависимость приводимых свойств ядер, помещённых в таблицу, на рис.4 приведена зависимость основных свойств ${}^{16}\eta\text{O}$ от радиального параметра модели $r_0 = R \cdot A^{-1/3}$. Хотя эта зависимость сильная, исходя из общих соображений, реальные значения $E_{n\ell}$ будут находиться в полосе

$$1,3 \text{ Фм} \leq r_0 \leq 1,4 \text{ Фм}.$$

Результат эксперимента 30-летней давности [5] находит своё естественное объяснение, если предположить, что существуют η -ядра с двумя нуклонами. Ответственным за большую величину 16^*

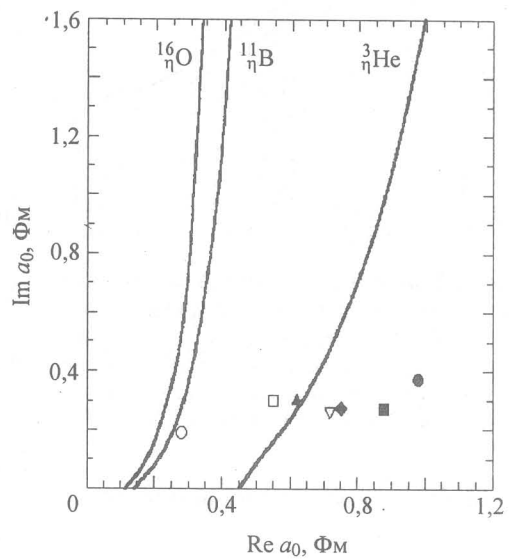


Рис.3. Границы образования квазисвязанных состояний для нескольких η -ядер в комплексной плоскости длины ηN -рассеяния. Длины ηN -рассеяния, полученные в работах: ○ – [11], ● – [21], □ – [16], ▲ – [22], ■ – [23], ▽ – [18], ◆ – [19]

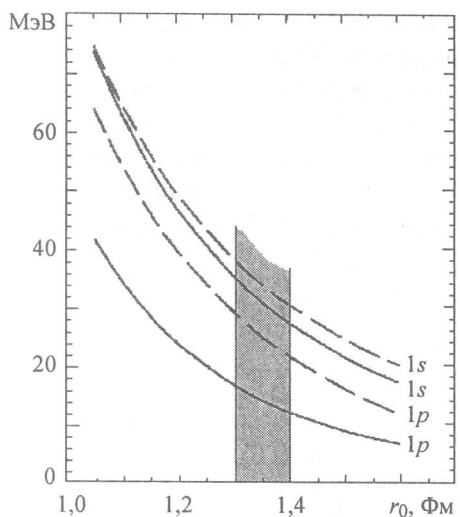


Рис. 4. Зависимость энергии связи ϵ (сплошные кривые) и ширины Γ (штриховые кривые) $1s$ - и $1p$ -состояния ядра $^{16}\eta\text{O}$ от радиального параметра r_0 оптического потенциала, рассчитанного с использованием длины ηN -рассеяния $a_0 = (0,717 + i0,263)\text{Фм}$

заметным с ростом ядерной плотности образуемых η -ядер. Так, в сечении реакции

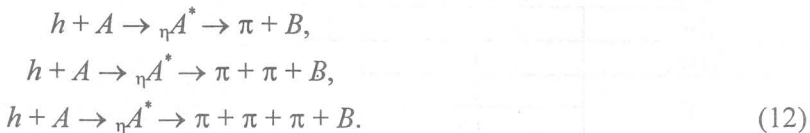


аномальный эффект в пороге значительно менее заметен, чем в реакции (7) [27] (но всё же наблюдается!).

Если в реакциях (9) η -ядра являются полюсами, то в реакциях вида



при энергиях, близких к порогу рождения η -мезонов, они должны бы проявляться как ядерные высоковозбуждённые резонансы:

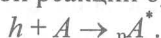


По-видимому, так оно и есть. Попытки выделения пионов от распада η -ядер в реакциях (12) были сделаны в эксперименте по двойной перезарядке пионов ${}^{18}\text{O}(\pi^+, \pi){}^{18}\text{Ne}$ и небезуспешные [28]. Малый набор статистики не позволил, однако, авторам этой работы заявить об открытии η -ядер с $A > 16$.

Если η -ядра существуют, то они должны появляться и проявляться и в других реакциях, отличных от (9). Например, в реакции



Так как переданный ядру импульс при рождении η -мезона может уноситься в этом случае нуклоном, можно утверждать, что сечение этой реакции будет много больше сечения реакции



Следует отметить, что вычисление амплитуд реакций (13) представляет значительную трудность, так как невозможно без привлечения микроскопических моделей атомных ядер и моделей рассеяния частиц высоких энергий на ядрах со всеми их приближениями. В данной работе в качестве налетающих частиц рассматриваются фотоны:



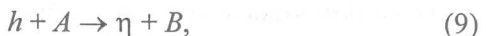
что, во-первых, позволит использовать опробованные ранее приближения и избежать столь важного учёта взаимодействия в начальном состоянии, а во-вторых, будет опираться на последние

сечения реакции (3) непосредственно у порога является полюс амплитуды реакции (3), расположенный близко к порогу [24]. Из вышесказанного следуют свойства такой частицы:

$$\begin{aligned} M &\approx m_d + m_\eta, \\ \Gamma &\approx 1 - 10 \text{ МэВ}, \end{aligned} \quad (8)$$

где M и Γ – масса и ширина. Именно такими ожидаются свойства η -ядра дейтерия [24,25]. Интересно заметить, что ${}_\eta d$ по своим свойствам (8) совпадает с предсказанным тяжёлым дибарионным резонансом [26], а потому может быть принят за дибарион в экспериментах по поиску дибарионов.

В рассмотренных реакциях вида



где h – адрон, проявление полюсов, отождествляемых здесь с η -ядрами, как аномалий сечений в пороге возможно по причине малой энергии связи и ширины ядер ${}^3\eta\text{He}$ (в реакции (7)) и ${}_\eta d$ (в реакции (3)). С увеличением числа нуклонов, а точнее, плотности ядер и энергии связи, и ширины η -ядер быстро увеличиваются (см. таблицу), отдаляя обсуждаемые полюса от порога соответствующих реакций (9). Поэтому проявление полюсов в сечениях становится менее

заметным с ростом ядерной плотности образуемых η -ядер. Так, в сечении реакции

достижения в области исследования фоторождения η -мезонов на нуклонах и ядрах [29]. Здесь следует заметить, что прецизионные измерения сечений фоторождения η -мезонов на протонах в лаборатории Майнца не остались не замеченными в ТПУ. Используя результаты этих экспериментов, сотрудник кафедры ВММФ ФЕНК кандидат физико-математических наук А.И.Фикс рассмотрел фоторождения η -мезонов на нуклонах в современной модели и выполнил наиболее полное теоретическое исследование измеренного сечения реакции $d(\gamma, \eta)X$ в области энергии возбуждения резонанса $S_{11}(1535)$ [30].

Образование η -ядер в реакции $\gamma + A \rightarrow N + \eta A'$

При вычислении амплитуд реакций (14) наряду с импульсным приближением использовалось приближение квазиводного фоторождения мезонов на ядрах, суть которого сводится к тому, что вылетевший из ядра нуклон есть нуклон отдачи от процесса фоторождения на нём η -мезона. Механизм реакции фотообразования η -ядер в (14) показан на рис.5. Наиболее интересной в плане экспериментального исследования является реакция (14) вида



так как ожидаемое состояние ηd имеет минимальную ширину и его легко было бы наблюдать в реакциях



как квазивязанное состояние $p - n - \eta$ -системы. Однако концепция оптического потенциала, используемая здесь, очень груба для описания ηd . С некоторой натяжкой оптический потенциал применим к описанию η -ядер ηA , образующихся в реакциях

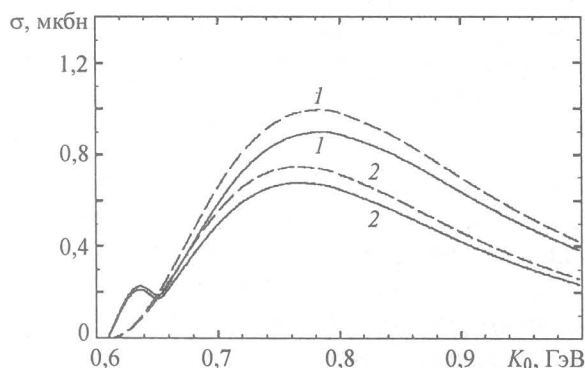


Рис. 6. Зависимость полных сечений реакций ${}^4\text{He}(\gamma, p) \eta T$ (кривые 1) и ${}^4\text{He}(\gamma, n) {}^3\text{He}$ (кривые 2) от энергии налетающих γ -квантов с учетом (сплошные кривые) и без учета (штриховые кривые) взаимодействия нуклонов в конечном состоянии

меньших энергиях T_N у порога реакций (17), (18) для учёта нуклон-ядерного взаимодействия использовалась модель Findlay [33]. Так как сечение реакции (17) больше сечения реакции (18), то в дальнейшем будем говорить только о реакции (17). Как известно, в бинарных реакциях имеется жёсткая связь между энергией и углом вылета одной из конечных частиц. Поэтому квазивязанное состояние в реакциях (17) можно наблюдать с помощью спектрометрии протонов под заданным углом к пучку γ -квантов. Расчёты показали, что с увеличением угла вылета нуклонов сечения реакции (17) быстро уменьшаются (см. рис.7), а потому углы, под которыми наблюдаются протоны

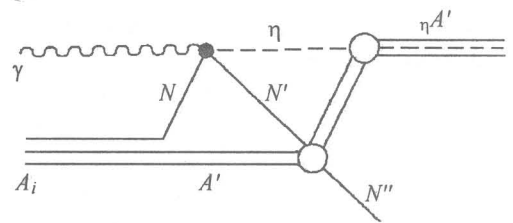


Рис. 5. Схема механизма фотообразования η -ядер в реакции $\gamma + A \rightarrow N + \eta A'$

Зависимость полных сечений этих реакций от энергии налетающих фотонов показана на рис.6. Во всех приведённых ниже результатах расчёта выбрана длина ηN -рассеяния

$$a_0 = (0,717 + i0,263) \text{ Фм}$$

из работы [18] и волновые функции осцилляторной модели оболочек. Детали вычислений можно найти в работах [31, 32]. Разные величины сечений для реакций (17) и (18) обусловлены использованием в расчётах импульсного приближения и различием амплитуд фоторождения η -мезонов на протонах и нейтронах (см., например, [30–32]). Для учёта взаимодействия нуклонов в конечном состоянии использовалась простая оптическая модель с учётом только мнимой части ядерного потенциала. Эта модель хорошо работает при кинетической энергии нуклонов $T_N > 60$ МэВ. При

от этой реакции, не должны быть большими. Основной фоновой реакцией для (17) будет



Сечение этой реакции также вычислялось в приближении квазисвободного фоторождения мезонов на ядрах, а взаимодействие протонов в конечном состоянии учитывалось в простой оптической модели (подробности см. в [31–32]). На рис.7 показано дифференциальное сечение реакции (19) при фиксированной энергии γ -квантов K_0 и угле вылета протонов θ_p , вместе с дифференциальным сечением реакции (17), вычисленным при тех же K_0 , θ_p и размазанным по ширине уровня. Высота пика протонного спектра от образования η -ядер значительно больше высоты пика спектра протонов от реакции фоторождения мезонов (19), что даёт надежду на обнаружение и регистрацию η -ядер по пику в спектре протонов в инклузивной реакции ${}^4\text{He}(\gamma, p)X$ при соответствующих энергиях γ -квантов.

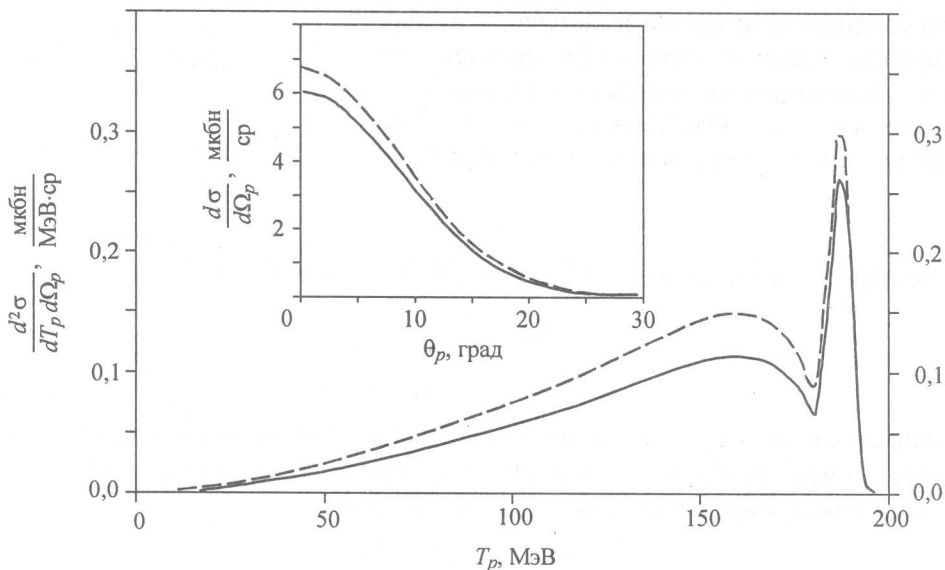


Рис.7. Дифференциальное сечение реакции ${}^4\text{He}(\gamma, \eta p) T$ для энергии фотонов $K_0 = 760$ МэВ и угле вылета протонов $\theta_p = 10^\circ$ в зависимости от энергии протонов в L-системе. Сплошными кривыми показан результат расчетов со взаимодействием протонов в конечном состоянии, штриховыми кривыми – без учета. Пиком изображено дифференциальное сечение реакции ${}^4\text{He}(\gamma, p) \eta T$ при названных кинематических условиях, «размазанное» по ширине уровня η -ядра поциальному закону. На вставке показана зависимость дифференциального сечения реакции ${}^4\text{He}(\gamma, p) \eta T$ от угла вылета протона при вышеупомянутой энергии γ -квантов

С увеличением числа нуклонов A в начальном ядре, в принципе, можно добиться увеличения сечения реакций вида (14), которое невелико для рассмотренных реакций (17), (18). Переход к расчётом на p -оболочечных ядрах мишени связан с рядом трудностей. Во-первых, это многоуровневость квазисвязанных состояний η -ядер, которая проявляется в ядрах с $A > 6$, во-вторых, образование η -ядер с нуклонным остовом в высоковозбуждённом состоянии (дырка в s -оболочке после выбивания протона) требует специального рассмотрения, так как времена жизни ядра-остова и самого η -ядра становятся сравнимыми, в-третьих, дискретные состояния, в которых могут оставаться ядра после выбивания из них протона, приводят к увеличению всевозможных значений спина η -ядер, то есть к дополнительному увеличению сечений фотообразования η -ядер с $A > 6$ в реакциях типа (14), по сравнению с сечениями образования более лёгких η -ядер. Все эти трудности в той или иной степени были преодолены в теоретическом исследовании реакций



Эти реакции рассматривались только с активной p -оболочкой ядер мишени, в пренебрежении выбивания протонов из s -оболочек (есть основание считать, что такое приближение оправдано). Для описания атомных ядер с $4 < A < 16$ использовалась модель оболочек с промежуточной связью. Волновую функцию для ядра ${}^{12}\text{C}$ брали в таком приближении, что она была подобна волновой функции ядра ${}^{16}\text{O}$,

поэтому дифференциальные сечения реакций (20), (21) различаются в данных расчётах только на постоянный множитель. Будем различать образование разных уровней квазисвязанных η -ядерных систем и стационарных возбуждённых состояний нуклонных остовов η -ядер. На рис.8 показано угловое распределение протонов реакции (20), когда η -ядро образуется в $1s$ -состоянии, а его нуклонный остов ^{11}B находится в основном состоянии. Это распределение отличается от распределения протонов в реакциях (17), (18). Учет возбуждения стационарных уровней нуклонных остовов η -ядер приводит к заметному дополнительному увеличению сечения образования связанных мезон-ядерных систем за счёт увеличения числа возможных спинов (рис.9).

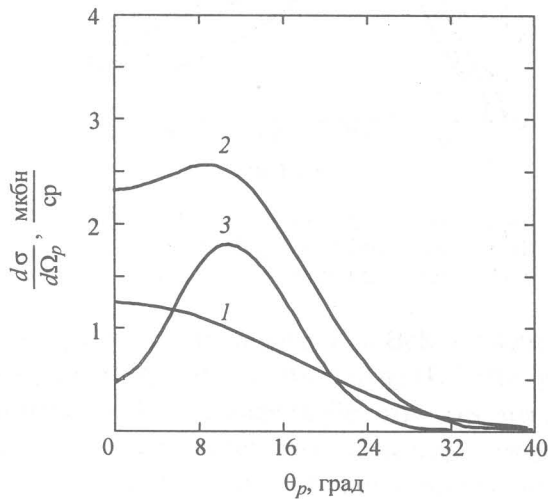


Рис. 8. Угловое распределение протонов реакции $^{12}\text{C}(\gamma, p)$ $^{11}\text{nB}_{\text{с}}$ в Л-системе с учётом взаимодействия в конечном состоянии при разных энергиях налетающих γ -квантов, K_0 , МэВ: 1 – 600; 2 – 700; 3 – 800

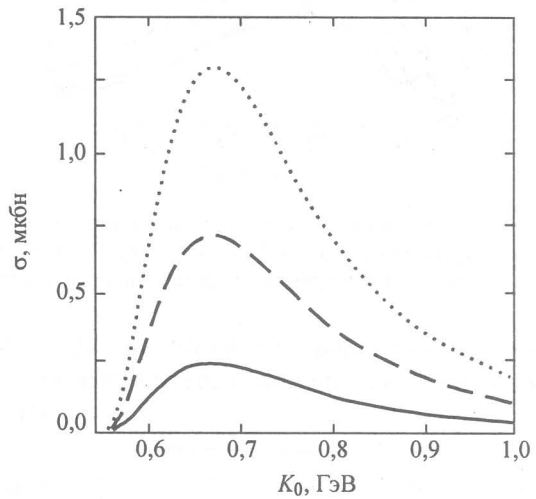


Рис. 9. Зависимость сечения образования η -ядра $^{11}\text{nB}^*(1s)$ в реакции (20) от энергии γ -квантов с нуклонным остовом только в возбуждённых стационарных состояниях. Разные кривые соответствуют разным способам учёта этих состояний. В результатах, приведенных на последующих рисунках, используется вклад возбуждения дискретных уровней ядра-остова, изображённый точечной кривой

Остановимся теперь на сечениях фотообразования η -ядер в $1p$ -состоянии¹. Как уже говорилось, дифференциальные сечения реакций (20) и (21) будут различаться только множителем, а потому рассмотрим вычисленное сечение только для реакции (21). По форме оно внешне напоминает дифференциальные сечения образования лёгких η -ядер в реакциях (17), (18) (см. рис.7), однако в распределениях реакций (20), (21) с энергией γ -квантов 650 МэВ и выше можно видеть структуру (рис.10).

Начиная от порога реакции полное сечение образования η -ядра в $1p$ -состоянии несколько подавлено по сравнению с образованием в $1s$ и не только за счёт разности пороговых энергий. С увеличением же энергии фотонов сечение образования η -ядер в $1p$ -состояниях продолжают расти и при энергиях, находящихся выше энергии фотовозбуждения резонанса $S_{11}(1535)$, в то время как сечение рождения $1s$ – η -ядер начинают уменьшаться вместе с уменьшением вклада резонанса в сечение фоторождения η -мезонов на нуклонах ядер (рис. 11). Протон-ядерное взаимодействие притяжения при энергиях гигантского резонанса может приводить к значительному увеличению сечения образования η -ядер вблизи порога.

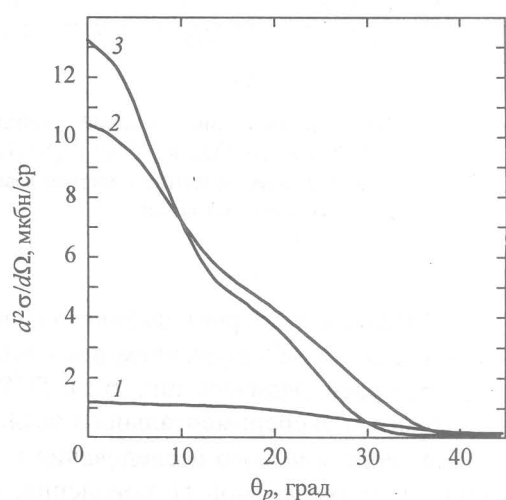


Рис. 10. Угловое распределение протонов реакции $^{16}\text{O}(\gamma, p)$ $^{15}\text{N}^*(1p)$ в Л-системе для энергий γ -квантов, K_0 , МэВ: 1 – 600; 2 – 700; 3 – 800 без учёта взаимодействия в конечном состоянии

¹ В [32] была допущена ошибка при вычислении сечений образования η -ядер в реакциях (20) и (21) в $1p$ -состояниях

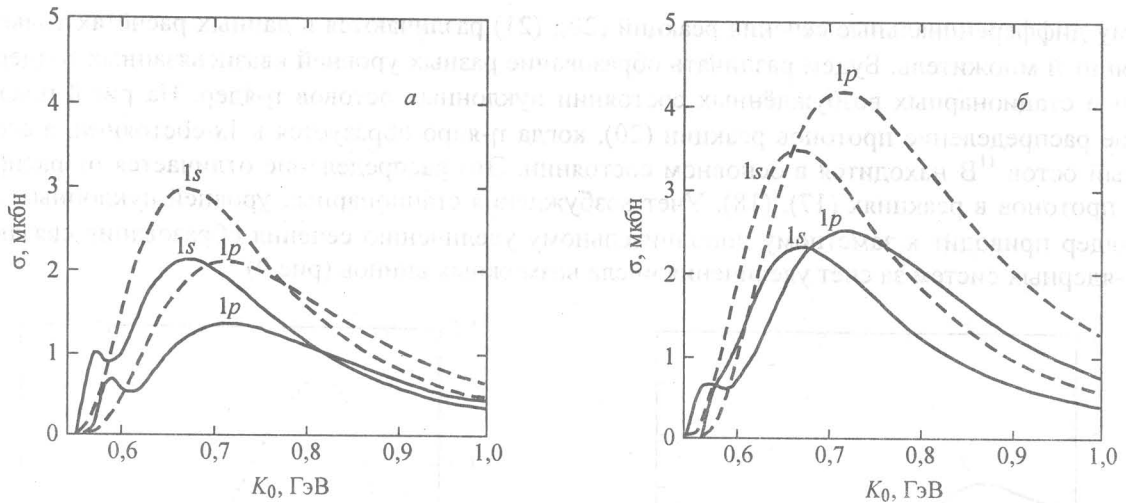


Рис.11. Зависимость полных сечений реакций $^{12}C(\gamma, p) ^{11}\eta B^*$ (а) и $^{16}O(\gamma, p) ^{15}\eta N^*$ (б) от энергии налетающих γ -квантов с образованием η -ядер в $1s$ - и $1p$ -состояниях. Штриховые кривые – без учета взаимодействия уходящих протонов с ядром, сплошные кривые – с учетом этого взаимодействия

Взаимодействие с ядром вылетающих протонов с энергией 50 МэВ и больше приводит к обратному эффекту: уменьшению сечений образования η -ядер как $^{11}\eta B$ (рис.11,а), так и $^{15}\eta N$ (рис.11,б).

Интересно отметить, что образование $^{15}\eta N$ в реакции (21) происходит с большей вероятностью в $1p$ -состоянии, чем в $1s$ -состоянии при относительно низких энергиях фотонов (≈ 650 МэВ), чего нельзя сказать о ядре $^{11}\eta B$, которое предпочитает рождаться в $1s$ -состоянии вплоть до энергии фотонов 800 МэВ.

Следует сказать, что учёт взаимодействия протонов с ядром вблизи гигантского резонанса был выполнен чисто феноменологически и дает лишь качественно предполагаемую картину поведения сечений вблизи порога. Если не делать различия между η -ядрами, находящимися в разных состояниях, но с одинаковым количеством протонов и нейтронов по-отдельности, то полные сечения образования их в реакции вида (14) будут выглядеть так, как это показано на рис.12. Отметим, что такие сечения довольно быстро растут с увеличением числа нуклонов и, возможно, имеет смысл рассмотреть реакции (14) на более тяжёлых, чем ^{16}O , ядрах для целей экспериментального обнаружения η -ядер.

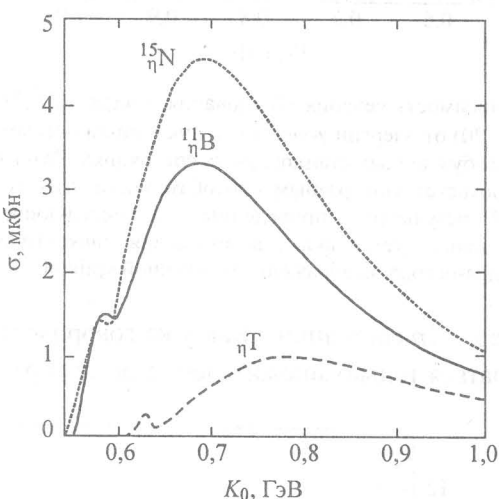


Рис. 12. Зависимость полных сечений реакций $^4He(\gamma, p) \eta T$, $^{12}C(\gamma, p)^{11}\eta B^*(1L)$ и $^{16}O(\gamma, p)^{15}\eta N^*(1L)$ от энергии налетающих γ -квантов с учетом взаимодействия в конечном состоянии

Заключение

Интерес к η -ядерной физике, возникший вместе с открытием η -мезона, не ослабевает и по сей день в связи с обнаружением всё новых и новых «странных» η -мезона и его взаимодействий. История распорядилась так, что в ТПУ накопился большой и во многом уникальный опыт теоретического и экспериментального исследования по физике промежуточных энергий. Что касается опыта теоретического исследования в области η -мезон-ядерной физики, то он многократно умножился с приходом нового поколения, позволив этому новому поколению работать сегодня на самом высоком мировом уровне.

Сложившаяся на сегодняшний день ситуация с η -ядрами во многом противоречивая. Эта-ядра появляются (и проявляются) там, где их не ожидают! С 1969 года [5] тянется «след» от η -ядер в реакциях образования η -мезонов вблизи порога на малонуклонных системах. Десятки теоретиков пытались и пытаются объяснить увеличение силы взаимодействия в η -мезон-ядерной системах при уменьшении энергии, но все эти попытки выглядят неуклюже без привлечения гипотезы су-

ществования сверхлегких η -ядер. По-видимому, окончательный ответ на вопрос, существуют ли η -ядра, будет дан тогда, когда η -ядра обнаружат и экспериментально исследуют в реакциях, предсказываемых теорией. В этой связи важными становятся теоретические исследования реакций, в которых могут образовываться η -ядра. Поиск η -ядер есть одна из актуальных задач для специалистов-экспериментаторов на сегодняшний день.

СПИСОК ЛИТЕРАТУРЫ

1. Дудкин Г.Н., Епонешников В.Н., Кречетов Ю.Ф., Трясучёв В.А. // Письма в ЖЭТФ. – 1973. – Т.18. – С.263.
2. Dudkin G.N., Eponeshnekov V.N., Krechetov U.F., Tryasuchev V.A. // Lett. Nuov.Cim. – 1974. – V.9. – P.452.
3. Дудкин Г.Н., Епонешников В.Н., Кречетов Ю.Ф. // Письма в ЖЭТФ. – 1976. – Т.23. – С.86.
4. Particle Data Group. 1996.
5. Anderson R.L., Prepost R. // Phys. Rev. Lett. – 1969. – V.23. – P.46.
6. Лебедев А.И., Трясучёв В.А., Фетисов В.Н. // ЯФ. – 1978. – Т.27. – С.1584.
7. Лебедев А.И., Поль Ю.С., Трясучёв В.А., Фетисов В.Н. // Труды ФИАН. – 1988. – Т.186. – С.196.
8. Трясучёв В.А., Колчин А.В. // ЯФ. – 1991. – Т.53. – С.703.
9. Трясучёв В.А., Фикс А.И. // ЯФ. – 1995. – Т.58. – С.1247.
10. Assamagan K.A., Gal L., Gasparian A., et al. / TJNAF PAC 14 Proposal. – 1998.
11. Bhalero R.S., Liu L.C. // Phys. Rev. Lett. – 1985. – V.54. – P.865.
12. Liu L.C., Haider Q. // Phys. Lett. – 1986. – V.B172. – P.257; 1986. – V.B174. – P.465(E).
13. Liu L.C., Haider Q. // Phys. Rev. – 1986. – V.C34. – P.1845.
14. Berthet P. et al. // Nucl.Phys. – 1985. – V.A443. – P.589.
15. Crien R.E., Bart S., Pile P., et al. // Phys. Rev.Lett. – 1988. – V.60. – P.2595.
16. Wilkin C. // Phys.Rev. – 1993. – V.C47. – P.R938.
17. Кандратюк Л.А., Ладо А.В., Узиков Ю.Н. // ЯФ. – 1995. – Т.58. – С.524.
18. Batinic M., Dadic I., Slaus I., et al. – Rudjuer Boskovic Institute. Zagreb, 1996 / Preprint IRB-EF-02-96.
19. Green A.M., Wycech S. / Preprint HIP-1997-08.
20. Трясучёв В.А. // ЯФ. – 1997. – Т.60. – С.245.
21. Arima M., Shimizu K., Yazaki K. // Nucl.Phys. – 1992. – V.A543. – P.619.
22. Abaev V.V., Nefkens B.M.K. – Los Angeles. University of California, 1994 / Preprint UCLA-10-P25-229.
23. Batinic M., Svarc A. – Rudjuer Boskovic Institute. Zagreb, 1995 / Preprint IRB-FEP-03/95.
24. Green A.M., Niskanen J.A., Wycech S. // Phys. Rev. – 1996. – V.C54. – P.1970.
25. Shevchenko N.V., Belyaev V.B., Rakityansky, et al. (submitted to P.R.L.1999).
26. Shmidt I.A. // Phys. Rev. Lett. – 1980. – V.D21. – P.3090.
27. Willis N., Le Barnea Y., Zghiche A., et al. / Preprint IPNO-DRE-97-09.
28. Johnson J.D., Burleson G.R., Edwards C. // Phys. Rew. – 1993. – V.C47. – P.2571.
29. Krusche B., Ahrens J., Anton G., et al. // Phys. Rev. Lett. – 1995. – V.74. – P.3736.
30. Фикс А.И. Автореф. дис. ... канд. физ.-мат. наук. – Томск: ТГУ, 1998; Fix A.I., Arenhovel H. // Z.Phyz. – 1997. – V.A359. – P.427.
31. Трясучёв В.А. // ЯФ. – 1998. – Т.61. – С.1600.
32. Трясучёв В.А. // Физика ЭЧАЯ. – 1999. – Т.30. – С.1391.
33. Findlay D.J.S., Owens R.O. // Nucl. Phys. – 1977. – V.A292. – P.53.